

ВПЛИВ РІЗНИЦЬ ТЕМПЕРАТУР ПЕРЕГРІВАННЯ У ВИПАРНИКУ І ПЕРЕОХОЛОДЖЕННЯ У КОНДЕНСАТОРІ НА ВТРАТИ ЕКСЕРГІЇ В ЕЛЕМЕНТАХ ХОЛОДИЛЬНИХ МАШИН SPLIT-КОНДИЦІОНЕРІВ

Постанова проблеми. Холодильні машини, які застосовують в split-кондиціонерах, потребують вдосконалення для підвищення їх енергоефективності, яке можливе з використанням сучасного методу термодинаміки – *ексергетичного* [1, 2, 3].

Ексергетичний аналіз дозволяє встановити максимальні термодинамічні можливості холодильної машини, визначити втрати ексергії в ній та обґрунтувати рекомендації з вдосконалення окремих її елементів. А для цього треба досконало вивчити всі аспекти роботи холодильної машини split-кондиціонерів.

Аналіз останніх досліджень та публікацій. Найдетальніше ексергетичний метод аналізу одноступеневих холодильних машин наведений в [1], який непристосований для холодильних машин split-кондиціонерів, у яких випарник і конденсатор омиваються відповідним повітрям, а в контурі холодильної машини циркулює інший холодоагент. Також коротко цей метод аналізу висвітлений у [2, 3].

Тому автором розроблений ексергетичний метод аналізу роботи одноступеневих хладонових холодильних машин (*без ефективного охолодження компресора*) для split-кондиціонерів [4, 5]. У цьому методі використана принципова схема холодильної машини, яка наведена на рис. 1, а, і відповідно побудова процесів її роботи на p,i -діаграмі – на рис. 1, б та холодильний агент хладон-22 (R22). Такий метод термодинамічного вивчення холодильної машини дає можливість дослідити її як загалом, так і її окремі частини, щоб отримати повну інформацію про процеси перетворення енергії, які мають місце в холодильній машині. Результатом аналізу є знаходження втрат ексергії в окремих елементах холодильної машини та ексергетичного ККД процесу загалом.

Мета роботи – визначення залежності втрат ексергії у компресорі, конденсаторі, дроселі і випарнику холодильних машин split-кондиціонерів від різниць температур перегрівання у випарнику і переохолодження у конденсаторі. Для цього потрібно встановити:

– втрати ексергії у компресорі, конденсаторі, дроселі і випарнику, наприклад, split-кондиціонера "Sanuo" холодопродуктивністю 2020 Вт за стандартних зовнішніх температурних умов випробування, залежно від різниць температур перегрівання у випарнику і переохолодження у конденсаторі;

– аналітичні залежності між втратами ексергії у компресорі, конденсаторі, дроселі і випарнику вибраного split-кондиціонера “Sanyo” і різницями температур перегрівання у випарнику і переохолодження у конденсаторі.

Це і було завданням досліджень.

Виклад основного матеріалу. Ексергетичний ККД η_e одноступеневої парокомпресорної хладонової холодильної машини split-кондиціонерів визначали з її ексергетичного балансу, який має вигляд:

$$E_{\text{вх}} = E_{\text{вих}} + \Sigma D, \%, \quad (1)$$

де $E_{\text{вх}}$ – вхідний потік ексергії у компресор кондиціонера (робота компресора), %; $E_{\text{вих}}$ – вихідний потік ексергії з випарника кондиціонера, або ексергетична холодопродуктивність кондиціонера, %; ΣD – загальні втрати потоку ексергії у всіх апаратах холодильної машини кондиціонера, %.

Виходячи з цього, ексергетичний ККД η_e визначали так:

$$\eta_e = \frac{E_{\text{вих}}}{E_{\text{вх}}} = 1 - \frac{\Sigma D}{E_{\text{вх}}}. \quad (2)$$

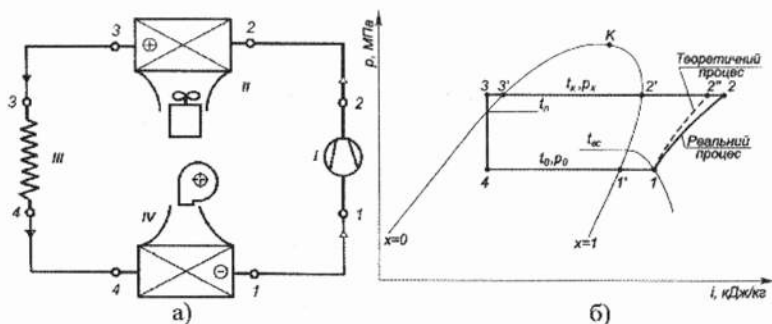


Рис. 1. Принципова схема холодильної машини (а) та побудова процесів роботи на p, i -діаграмі (б):

I – компресор; II – конденсатор; III – капілярна трубка (дросель); IV – випарник

Технічні характеристики вибраного для досліджень split-кондиціонера “Sanyo” за стандартних зовнішніх температурних умов t_{H1}

$= +35^{\circ}\text{C}$ і $t_{c1} = +27^{\circ}\text{C}$: холодопродуктивність $Q_x^{\text{CT}} = 2020$ Вт, споживана потужність $N_{\text{сп}}^{\text{CT}} = 610$ Вт, кількість конденсату $W_{\text{конд}}^{\text{CT}} = 0,9$ л/год, витрати повітря на випарнику $L_{\text{вип}}^{\text{CT}} = 450$ м³/год і конденсаторі $L_{\text{к}}^{\text{CT}} = 1360$ м³/год кондиціонера і, відповідно, ексергетичний ККД $\eta_e = 0,249$, холодильний агент хладон-22 (R22).

Різниця температур перегрівання пари холодильного агента у випарнику (всмоктування перегрітої пари холодильного агента у компресор і киплячого холодильного агента) $\Delta t_{\text{пергр}}$ впливає на значення температури всмоктування перегрітої пари холодильного агента у компресор $t_{\text{вс}}$, а *різниця температур переохолодження рідкого холодильного агента у конденсаторі* (конденсації пари холодильного агента і переохолодження рідкого холодильного агента у конденсаторі) $\Delta t_{\text{перох}}$ впливає на значення температури переохолодження рідкого холодильного агента у конденсаторі $t_{\text{п}}$, що своєю чергою є додатковими температурами внутрішнього температурного режиму роботи холодильних машин split-кондиціонерів, які працюють на однокомпонентному холодильному агенті. У той самий час від цих температур внутрішнього температурного режиму роботи холодильних машин split-кондиціонерів залежить не тільки ексергетичний ККД холодильних машин, але й параметри роботи усіх їх елементів: компресора, конденсатора, дроселя (капілярної трубки) і випарника та адекватні втрати ексергії у них.

Для встановлення залежності втрат ексергії у компресорі, конденсаторі, дроселі і випарнику вибраного кондиціонера від різниць температур перегрівання у випарнику і переохолодження у конденсаторі, які суттєво впливають на його роботу, дослідження проводили за таких умов функціонування кондиціонера:

- різниці температур перегрівання у випарнику $5 \leq \Delta t_{\text{пергр}} \leq 15^{\circ}\text{C}$ (для стандартного процесу приймали $\Delta t_{\text{пергр}} = 10^{\circ}\text{C}$);
- різниці температур переохолодження у конденсаторі $3 \leq \Delta t_{\text{перох}} \leq 5^{\circ}\text{C}$ (для стандартного процесу приймали $\Delta t_{\text{перох}} = 5^{\circ}\text{C}$);
- стандартної температури навколишнього середовища $t_{H1} = 35^{\circ}\text{C}$ (зовнішнього повітря);
- стандартної температури внутрішнього (рециркуляційного) повітря відповідно до температури навколишнього середовища $t_{c1} = 27^{\circ}\text{C}$;
- кінцевої різниці температур у випарнику $\Delta t_{\text{вип}} = 2,8^{\circ}\text{C}$;
- кінцевої різниці температур у конденсаторі $\Delta t_{\text{к}} = 4,2^{\circ}\text{C}$;

- адіабатичного (індикаторного) ККД компресора $\eta_i = 0,8$;
- електромеханічного ККД компресора $\eta_{см} = 0,9$.
- холодильного агента – хладон-22 (R22).

Отримані під час проведення аналізу результати наведені у таблиці (курсивом зазначені технічні характеристики кондиціонера для стандартних різниць температур перегрівання у випарнику і переохолодження у конденсаторі, а **жирно** – технічні характеристики кондиціонера для запропонованих різниць температур перегрівання у випарнику і переохолодження у конденсаторі) та зображені графічно на рис. 2, 3, 4 і 5.

Таблиця

Результати досліджень втрат ексергії у компресорі, конденсаторі, дроселі і випарнику та ексергетичного ККД split-кондиціонера “Sanyo” стандартної холодопродуктивності 2020 Вт залежно від різниць температур перегрівання у випарнику і переохолодження у конденсаторі

$\Delta t_{\text{перегр}},$ °C	$\Delta t_{\text{переох}},$ °C	$D_{\text{компр}},$ %	$D_{\text{к}},$ %	$D_{\text{др}},$ %	$D_{\text{вип}},$ %	$e_{\text{вх}} = l,$ $\frac{\text{кДж}}{\text{кг}}$	$e_{\text{вих}},$ $\frac{\text{кДж}}{\text{кг}}$	η_e
5,0	5	23,5	30,3	7,2	14,1	28,2	7,0	0,248
7,5	5	23,8	31,2	7,2	12,9	28,5	7,09	0,249
10,0	5	24,1	32,1	7,1	11,7	28,8	7,17	0,249
12,5	5	24,4	33,0	7,1	10,5	29,0	7,26	0,250
15,0	5	24,7	33,8	7,0	9,4	29,3	7,34	0,251
10	3,0	24,1	31,8	7,2	12,4	28,8	7,06	0,245
10	3,5	24,1	31,9	7,2	12,2	28,8	7,09	0,246
10	4,0	24,1	31,9	7,1	12,1	28,8	7,11	0,247
10	4,5	24,1	32,0	7,1	11,9	28,8	7,14	0,248
10	5,0	24,1	32,1	7,1	11,7	28,8	7,17	0,249

У таблиці $D_{\text{компр}}, D_{\text{к}}, D_{\text{др}}, D_{\text{вип}}$ – відповідно, відносні втрати ексергії у компресорі, конденсаторі, дроселі і випарнику, %; $e_{\text{вх}} = l$ – питомий потік вхідної ексергії, підведеної до електродвигуна компресора (питома робота компресора), кДж/кг; $e_{\text{вих}}$ – потік питомої вихідної ексергії, відведеної від випарника у вигляді ексергетичної

холодопродуктивності, кДж/кг; η_e – ексергетичний ККД холодильної машини кондиціонера.

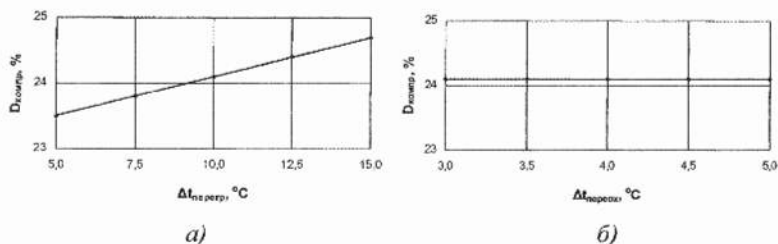


Рис. 2. Залежність відносних втрат ексергії у компресорі $D_{\text{компр}}$ split-кондиціонера „Sanyo” стандартної холодопродуктивності 2020 Вт від різниці температур перегрівання у випарнику $\Delta t_{\text{перегр}}$ (а) і переохолодження у конденсаторі $\Delta t_{\text{перох}}$ (б)

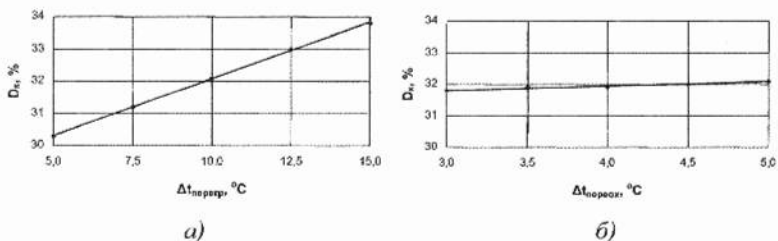


Рис. 3. Залежність відносних втрат ексергії у конденсаторі D_k split-кондиціонера „Sanyo” стандартної холодопродуктивності 2020 Вт від різниці температур перегрівання у випарнику $\Delta t_{\text{перегр}}$ (а) і переохолодження у конденсаторі $\Delta t_{\text{перох}}$ (б)

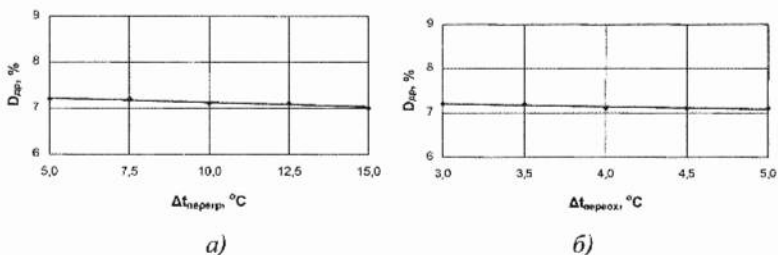
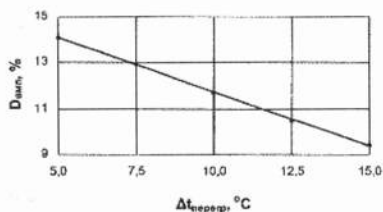
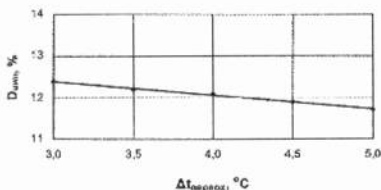


Рис. 4. Залежність втрат ексергії у дроселі $D_{\text{др}}$ split-кондиціонера „Sanyo” стандартної холодопродуктивності 2020 Вт. від різниці температур перегрівання у випарнику $\Delta t_{\text{перегр}}$ (а) і переохолодження у конденсаторі $\Delta t_{\text{перох}}$ (б)



а)



б)

Рис. 5. Залежність відносних втрат ексергії у випарнику $D_{\text{вип}}$ split-кондиціонера „Sanpo” стандартної холодопродуктивності 2020 Вт від різниць температур перегрівання у випарнику $\Delta t_{\text{перегр}}$ (а) і переохолодження у конденсаторі $\Delta t_{\text{переох}}$ (б)

Залежності відносних втрат ексергії вибраного кондиціонера від різниць температур перегрівання у випарнику $5 \leq \Delta t_{\text{перегр}} \leq 15^\circ\text{C}$ та переохолодження у конденсаторі $3 \leq \Delta t_{\text{переох}} \leq 5^\circ\text{C}$ апроксимовані формулами:

– для компресора

$$D_{\text{компр}} = 22,9 + 0,12 \cdot \Delta t_{\text{перегр}}, \%; \quad (3)$$

– для конденсатора

$$D_{\text{к}} = 27,9 + 0,35 \cdot \Delta t_{\text{перегр}} + 0,14 \cdot \Delta t_{\text{переох}}, \%; \quad (4)$$

– для дроселя

$$D_{\text{др}} = 7,6 - 0,02 \cdot \Delta t_{\text{перегр}} - 0,06 \cdot \Delta t_{\text{переох}}, \%; \quad (5)$$

– для випарника

$$D_{\text{вип}} = 18,1 - 0,47 \cdot \Delta t_{\text{перегр}} - 0,34 \cdot \Delta t_{\text{переох}}, \%. \quad (6)$$

Максимальна похибка розрахунків за формулою (3) становить 0%, за формулою (4) – 0,4%, за формулою (5) – 1,5% і за формулою (6) – 1,0%.

Висновки.

Аналізуючи отримані дані досліджень у таблиці та на рис. 2, 3, 4 і 5, можна дійти таких висновків. Зростання різниці температур перегрівання у випарнику холодильної машини вибраного кондиціонера

$\Delta t_{\text{перегр}}$ від 5 до 15°C, тобто в 3 рази, призводить до незначного зростання відносних втрат ексергії у компресорі $D_{\text{компр}}$ від 23,5 до 24,7%, тобто в 1,051 рази, у конденсаторі до зростання D_k – від 30,3 до 33,8%, тобто в 1,116 рази, у дроселі до незначного зменшення $D_{\text{др}}$ – від 7,2 до 7,0%, тобто в 1,029 рази, і у випарнику до значного зменшення $D_{\text{вип}}$ – від 14,1 до 9,4%, тобто в 1,50 рази, за незначного зростання ексергетичного ККД η_c від 0,248 до 0,251, тобто в 1,012 рази або на 1,2%, а зростання різниці температур переохолодження у конденсаторі холодильної машини вибраного кондиціонера $\Delta t_{\text{перох}}$ від 3 до 5°C, тобто в 1,67 рази, – до сталого значення відносних втрат ексергії у компресорі $D_{\text{компр}} = 24,1\%$, у конденсаторі до незначного зростання D_k – від 31,8 до 32,1%, тобто в 1,0094 рази, у дроселі до незначного зменшення $D_{\text{др}}$ – від 7,2 до 7,1%, тобто в 1,014 рази, і до незначного зменшення у випарнику $D_{\text{вип}}$ від 12,4 до 11,7%, тобто в 1,060 рази, за незначного зростання ексергетичного ККД η_c від 0,245 до 0,249, тобто в 1,016 рази або на 1,6%. Варто зауважити, що відносні втрати ексергії у компресорі $D_{\text{компр}}$ не залежать від різниці температур переохолодження у конденсаторі холодильної машини вибраного кондиціонера $\Delta t_{\text{перох}}$ (рис. 2, б та формула (3)). Отже, найкраще застосовувати найвищі різниці температур перегрівання та переохолодження, тобто у випарнику 15°C, а у конденсаторі 5°C. Застосування запропонованої різниці температур перегрівання у випарнику 15°C замість стандартної 10°C, призведе до зростання ексергетичного ККД η_c від 0,249 до 0,251, тобто на 0,8%, що є достатньо незначним.

Отже, ексергетичний аналіз роботи холодильної машини split-кондиціонера за стандартних зовнішніх температурних умов і різних різниць температур перегрівання у випарнику і переохолодження у конденсаторі кондиціонера показав, що вищі значення ексергетичного ККД в неї є за найвищих різниць температур перегрівання у випарнику і переохолодження у конденсаторі. Тому з точки зору ексергетичного аналізу застосовувати вибраний split-кондиціонер стандартної холодопродуктивності 2020 Вт для забезпечення мікроклімату в приміщенні ощадніше з вищим ексергетичним ККД за стандартних зовнішніх температурних умов і запропонованих кінцевих різниць температур перегрівання у випарнику $\Delta t_{\text{перегр}} = 15^\circ\text{C}$ та переохолодження у конденсаторі – $\Delta t_{\text{перох}} = 5^\circ\text{C}$ та, відповідно, за незначно нарощеної відносної втрати ексергії у компресорі $D_{\text{компр}} = 24,7\%$, незначно нарощеної – у конденсаторі $D_k = 33,8\%$, незначно зменшеної – у дроселі

$D_{др} = 7,0\%$ і незначно зменшеної – у випарнику $D_{мин} = 9,4\%$ для холодильної машини вибраного split-кондиціонера “Sanyo”. Вочевидь, що завдяки цьому ексергетичний ККД зросте на 0,8%, що є суттєвим, але незначним.

Список літератури:

1. Соколов Е.Я. Энергетические основы трансформации тепла и процессов охлаждения: учеб. пособие для вузов.- 2-е изд., перераб. / Е.Я. Соколов, В.М. Бродянский. – М.: Энергоиздат, 1981. – 320 с.
2. Шаргут Я. Эксергия / Я. Шаргут, Р. Петела. – М.: Энергия, 1968. – 280 с.
3. Эксергетические расчеты технических систем: справ. пособие / [В.М. Бродянский, Г.П. Верхивкер, Я.Я. Карчев и др.]; под ред. А.А. Долинского, В.М. Бродянского; Ин-т технической теплофизики АН УССР. – Киев: Наук. думка, 1991. – 360 с.
4. Лабай В.Й. Ексергетичний аналіз місцевих автономних кондиціонерів/ В.Й. Лабай, О.В. Омельчук // Науковий вісник: зб. наук.-техн. праць.– Львів: НЛТУ України, 2005. – Вип. 15.3. – С. 262–266.
5. Лабай В.Й. Термодинамічні основи знаходження ексергетичного ККД холодильних машин split-кондиціонерів / В.Й. Лабай, Й.С. Мисак // Науково-технічний журнал «Холодильна техніка і технологія». – Одеса: ОДАХ, 2010. – № 5 (127). – С. 15–19.

Надійшла до редакції 12.10.2012р.